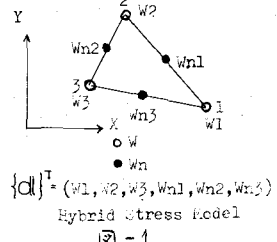


ハイブリッド要素を用いた板の極限解析について

名古屋大学 工学部 学生員 藤井文夫
正員 梶田達夫

1. まえがき 面外荷重をうける平板の弾塑性解析は、古くより種々の研究者によって扱われてきています。L.A.LopezやV.Y.Sokolovskiyが多くの論文を発表している。また、曲げ耐荷力の計算を目的としたものとしては、Johansenの関節線(降伏線)理論が最も有名であるが、これは材料の剛完全塑性を仮定していなければ、崩壊メカニズムに至るまでの荷重変形関係を求ることはできない。これらに対して、FEMを用いた弾塑性解析が近年多く行なわれている。これらうち、G.M.McNeiceは、4節点12自由度の長方形曲げ要素を用い、塑性レンジの概念を導入することにより極限耐荷力の解析を行なった。また、J.Baeklundは、Herrmannの混合要素を用いて、RC床版の上限極限荷重を計算し、関節線理論の解と比較している。ここでは、以上二つの考え方を拡張して、ハイブリッド要素を用いた関節線理論の定式化を試みたものである。計算で用ひられた板曲げ要素は、図-1に示す節点配置と自由度を持ち、要素内で応力ギヤー定のハイブリッド応力モデルである。この要素の詳細は参考文献を参照されたい。



2. 計算方法 計算にあたってはつきのよう仮定を設けた。
 ④関節線は、要素内部を貫通するところ常に要素境界に沿って拡がり、またその上には、要素間のたわみ角の不連続(塑性回転角)が導入により示される。
 ⑤要素内は常に弾性状態であり、要素内の応力 $\{\sigma_{xy}\}, \{\sigma_z\}$ と節点変位 $\{d\}$ との間には常につきの関係式が成立する。

$$\{\sigma_{xy}\}_{(3,6)} = [\mathbf{F}] \{d\}_{(6,1)} \quad (2-1)$$

$$\{\sigma_z\}_{(3,6)} = [\mathbf{G}] \{d\}_{(6,1)} \quad (2-2)$$

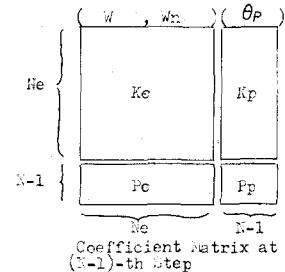
$$\text{ここで: } \{\sigma_{xy}\}^T = (M_x, M_y, M_{xy})$$

$$\{\sigma_z\}^T = (M_{zz}, M_{zz}, M_{zz})$$

$[\mathbf{F}], [\mathbf{G}]$ は、要素の節点変位より、要素内の応力を求める行列である。

⑥塑性レンジのせじと要素近似は、板全体が運動学的メカニズムに至るまで、十分な塑性変形能力を有する。

計算は、Step by Stepで進められ、各荷重段階において、V.Misesの降伏条件により降伏が判定された要素では、新しい節点変位として塑性回転角 θ_p が導入される。 θ_p を導入する要素近似は、その要素の降伏時に、最大曲げモーメントを有する辺、すなわち最大主曲げモーメントの方向に最も近くなる。この計算には(2-2)が用いられる。つきのStepのはじめに、前段階で導入された θ_p と新たに未知数としてつ連立方程式の必要な係数を決めなければならない。一般に、 N Stepのはじめで解くべき連立方程式の係数行列は図-2のようである。 $[\mathbf{K}_e]$ は弾性計算のStep ($N=1$)における($N_e \times N_e$)の剛性行列である。部分行列 $[\mathbf{K}_p]$ は、第($N-1$)Stepの終りまでに導入された θ_p の各節点におけるつり合い条件への関与を表わし、その係数は、 θ_p をその近の弾性変位成分 w_n と同等に扱うことによ



より要素の剛性行列より容易に決めることができる。 $[K_P]$ の一つの列には高々 6 個の係数しか現れない。 $[P_e]$ および $[P_p]$ は、降伏した要素の塑性変形を記述する部分行列である。従来の FEM を使った弾塑性解析においては、v. Mises の降伏条件に付随して一連の条件式により導かれた応力歪関係式を、塑性域に入り要素に入り（用いるのが一般的であるが、ここでは塑性歪の発生を許さない）これが（仮定④）、そりうち一つの条件式

$$\frac{\partial f}{\partial \sigma} d\sigma + \frac{\partial f}{\partial \epsilon} d\epsilon = 0 \quad (2-3)$$

のみを考慮することとする。いま (2-3) を、材料の完全塑性の仮定のもとで行列表示すると

$$(M_x - \frac{1}{2}M_y, M_y - \frac{1}{2}M_x, 3M_{xy}) d\{0_{xy}\} = 0 \quad (2-4)$$

となる。応力増分 $d\{0_{xy}\}$ は、假定のもので式 (3-1) により、節点変位増分 $d\{d\}$ と同じでいいので (2-4) はつぎのようになる。

$$C_{(6)} d\{d\} = 0 \quad (2-5)$$

$$\text{ここで: } C_{(6)} = (M_x - \frac{1}{2}M_y, M_y - \frac{1}{2}M_x, 3M_{xy}) [A]_{(3,6)} \quad (2-6)$$

C は、降伏した要素の応力状態に依存して 6 個の係数

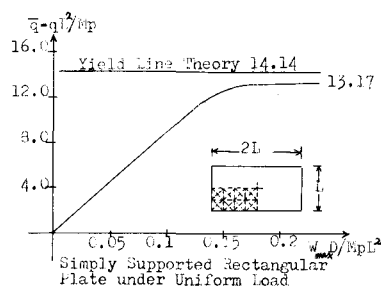
を含むベクトルである。 $[P_e]$ の各行について（各塑性要素について） C を求め、その 6 個の係数を、節点変位の対応する列に代入すれば $[P_e]$ は決まる。 $[P_p]$ は対角行列で、その中に同じ辺の弹性変位成分に対する C の係数をもつてくる。以上の理論展開は、塑性域に入り板の新しい変形モードを記述するため必要な塑性回転角といふ新たな自由度を導入して定式化したものであるが、これによれば、前述に述べたまきの板の弾塑性効率をある程度追跡することができる。

3. 計算例 まきあひこがき 図-3, 4, 5 は、それぞれ、等分布荷重をうける周辺単純支持の正方形板、周辺固定の正方形板、および周辺単純支持の長方形板の例である。他の多くの計算例、関節線理論および弾塑性解との比較、さらには RC 板への応用について

は、講演会日記

発表ある事處で

ある。



参考文献

山田嘉昭編「ストリッゲン法の応用」東大出版会 1972年

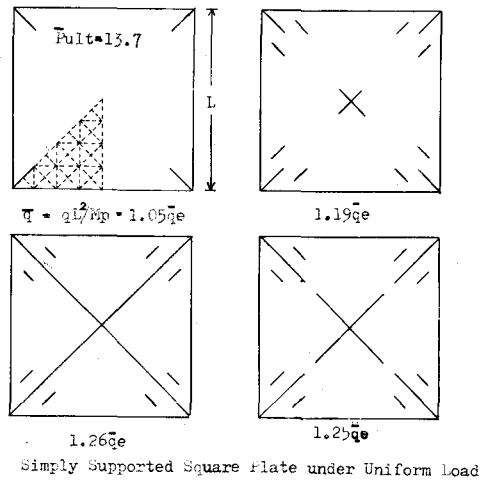


図-3

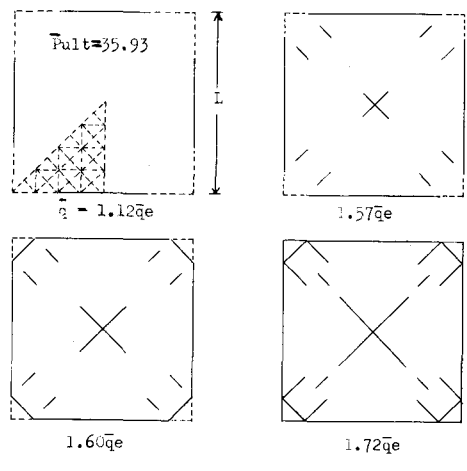


図-4